

## Trabalho 2: ENG1400

2/06/2020

*Lecturer: Marco Antônio Grivet**Scribe: Rafael Vilela*

## 1 Introdução

De acordo com a função no tempo fornecida pelo enunciado:

$$f(t) = \cos(20 * \pi * t) + 2 * \cos(30 * \pi * t) - 3 * \cos(40 * \pi * t) + \cos(50 * \pi * t)$$

calculou-se a energia no domínio do tempo e frequência além dos gráficos do sinal em ambos domínios. Pela propriedade da linearidade, considerando a forma exponencial complexa do cosseno:

$$\cos(w_0 * t) = (1/2) * [e^{i*w_0*t} + e^{-i*w_0*t}]$$

Transformada de Fourier:

$$\int_{-\infty}^{\infty} f(t) * e^{-i*w*t} dt$$

Aplicando  $f(t)$  na transformada:

$$\pi * \delta(w - w_0) + \pi * \delta(w + w_0)$$

Logo (em função de  $\omega$ ):

$$X(w) = \pi * (\delta(w - 20 * \pi) + \delta(w + 20 * \pi)) + 2 * \pi * (\delta(w - 30 * \pi) + \delta(w + 30 * \pi))$$

$$-3 * \pi * (\delta(w - 40 * \pi) + \delta(w + 40 * \pi)) + \pi * (\delta(w - 50 * \pi) + \delta(w + 50 * \pi))$$

$\delta$  é a função impulso.

O software utilizado foi o MATLAB versão R2019b e o código está na seção seguinte. A forma que os gráficos foram plotados não funciona em algumas versões mais antigas do MATLAB.

O gráfico em função de frequência é o gráfico da Transformada de Fourier do sinal, no caso ela é calculada através do algoritmo FFT (Fast Fourier Transform), que discretiza a função, para que seja possível calcular através de operações aritméticas. A sua complexidade computacional é de  $O(n * \log(n))$ , mais eficiente que  $n^2$  da DFT (algoritmo).

A ideia principal do algoritmo é dividir as  $n$  amostras em  $n/2$  amostras, calculando suas transformadas e recombinao. Essa lógica é aplicada recursivamente até que seja indivisível (resultado não inteiro), depois somando tudo e achando um valor global da Transformada de Fourier Discreta.

## 2 Código

A seguir será apresentado o código comentado (dividido em 2 imagens) e os respectivos gráficos do sinal no tempo e na frequência e a fase.

Em relação ao código,  $T$  representa o domínio,  $F$  a frequência de amostragem (que indicará o  $dt$ , os intervalos de tempo) e  $t$  o vetor tempo. No código  $n$  é o tamanho do vetor "sinal", como uma potência de 2 (no caso  $n=128$  ou  $2^7$ ); produto do domínio pela frequência de amostragem.

Há várias forma de representar vetores no MATLAB, porém foi preferível a "colon" porque é a mais utilizada com mais exemplos de resoluções de exercícios. O tamanho do vetor não é fixado como é usando "linspace".

A função "vpa(x)" (variable-precision floating-point arithmetic) calcula cada elemento de  $x$  até pelo menos "d" algarismos significativos, o padrão é 32. Foi utilizada para limitar os algarismos significativos do resultado de cada integração.

Valor da energia no domínio da frequência (aprox): 3.7416J

Valor da energia no domínio do tempo: 3.75J

Um erro absoluto em relação à energia no domínio no tempo menor que  $10^{-2}$ , erro relativo por volta de 0,026%.

A função `rectangularPulse(0,0.5,t)` não altera o resultado do cálculo em "etot" e "etotf", é um artifício para calcular as integrais. Como está definida no mesmo domínio de  $f(t)$ , ela multiplica por 1 no domínio e zero para todo valor fora de  $[0,0.5]$ . Calculando a integral de 0 a 5 é possível achar 3.75J. Já para a frequência há um efeito de espalhamento (spectral leakage), sendo necessário calcular a parte negativa também do domínio (similar ao gráfico de fft). A causa desse espalhamento é a convolução circular entre o sinal real, que será  $x[n]$ , e o pulso retangular.

```

1 - F=256;    %freq amostragem
2 - dt=1/F;  %delta t = 5*10^-3
3 - T=0.5;   %tempo / dominio sinal
4
5 - t = 0:dt:T-dt;
6
7 - sinal=cos(20*pi*t)+ 2*cos(30*pi*t)- 3*cos(40*pi*t)+ cos(50*pi*t);
8
9 - n=length(sinal);
10 - y=fft(sinal)/n;
11 - %N=TF= 128
12
13 - fshift=(-n/2:n/2-1)*(F/n);
14
15 - yshift= fftshift(abs(y));
16
17 - yshiftFase= fftshift(angle(y));
18
19 - %plots|
20 - tiledlayout(3,1)
21
22 - nexttile
23 - plot(t,sinal)
24 - title('Sinal no tempo')
25 - xlabel('s')
26

```

(1)

```

27 - nexttile
28 - plot(fshift,10*log10(yshift))
29 - title('Sinal na freq')
30 - xlabel('Hz')
31 - ylabel('dB')
32
33 - nexttile
34 - plot(fshift,yshiftFase)
35 - title('Fase')
36 - xlabel('Hz')
37 - ylabel('Rad')
38
39 - syms t w
40
41 - f=rectangularPulse(0,0.5,t)*(cos(20*pi*t)+ 2*cos(30*pi*t)- 3*cos(40*pi*t)+ cos(50*pi*t));
42
43 - energia= int(abs(f).^2,t,[0 0.5]);
44 - etot=vpa(energia);
45
46 - W=fourier(f,t,w);
47 - energiaf=int(abs(W).^2,w,[-1000 1000]);
48 - etotf= (1/(2*pi))*vpa(energiaf);
49
50 %%%%%%%%%%%

```

(2)

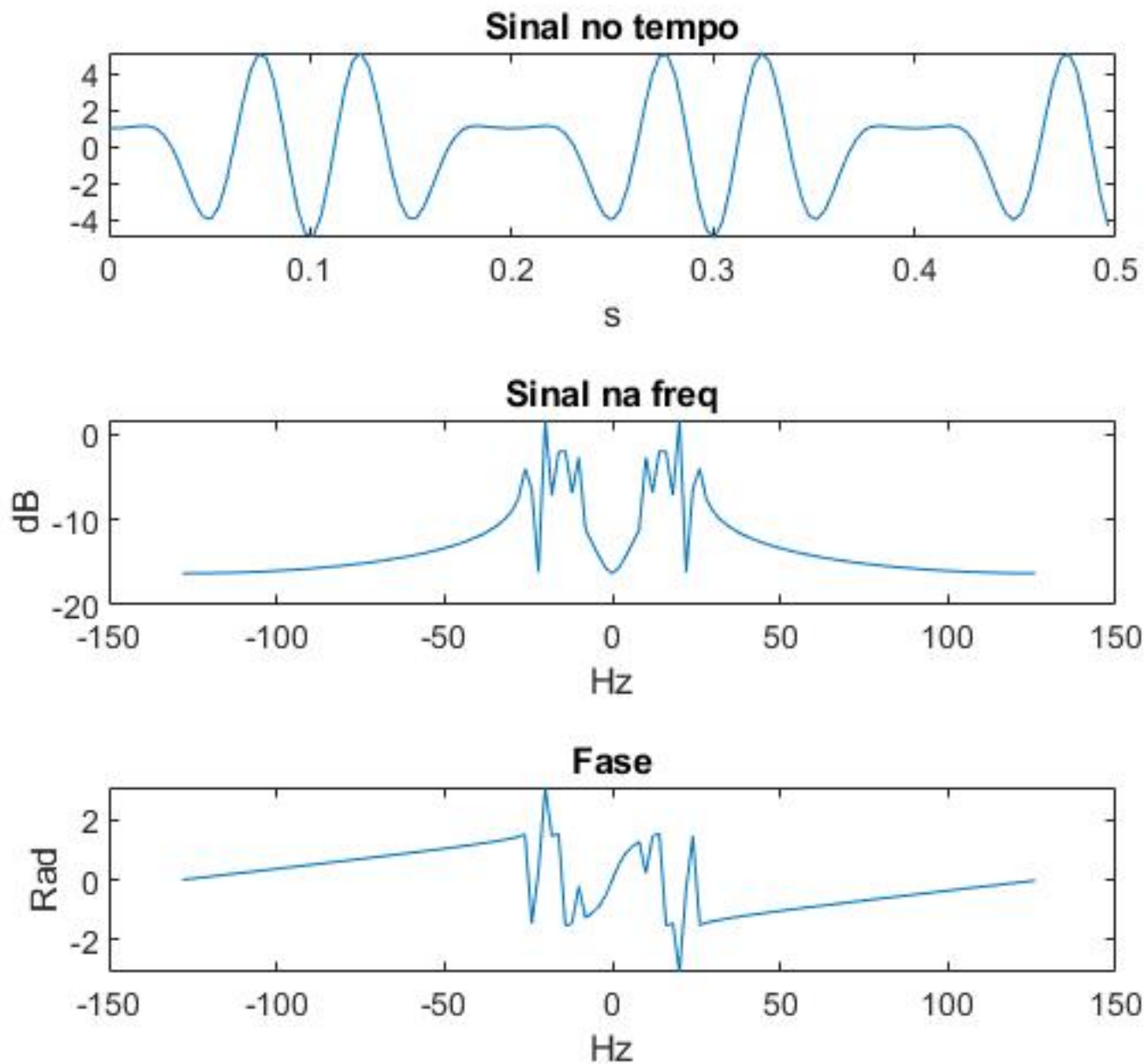
## 2.1 Gráficos

O primeiro gráfico do sinal no tempo está representado no domínio proposto (em segundos), mostrando uma função periódica. A Transformada de Fourier serve também para funções não periódicas. Diferentemente dos 2 últimos gráficos, não está espelhado no eixo "y" devido às funções "com shift" (como fftshift) no MATLAB, usualmente utilizadas em gráficos de sinais e sistemas para uma melhor visualização do sinal.

O gráfico de fase do sinal representa o ângulo em radianos com valores entre  $[-\pi : \pi]$ , no mesmo domínio (frequência) que a Transformada de Fourier, 128 para esse exemplo, entretanto o plot do MATLAB está representando entre -150 e 150 (Hz).

Era esperado que o gráfico da Transformada de Fourier possuísse 4 picos porque  $f(x)$  é a soma de 4 funções cossenos, no caso o maior em amplitude na frequência de 20Hz e os outros 3 picos entre 0 e 40Hz, conforme a frequência de amostragem aumenta, mais fiel o gráfico fica à representação do sinal na frequência. O eixo vertical foi representado em dB.

O código foi testado com outra função (dentre as 19 do Trabalho II) também e a representação não ficou tão fiel porque a frequência de amostragem era pequena. Portanto, dependendo da função, é necessário ampliar a frequência de amostragem.



(3)

### 3 Resultados

Pela teoria a energia no tempo é igual a energia na frequência normalizada por  $2 * \Pi$ . Isso se deve às Relações (Teoremas) de Parseval, essa equação também é conhecida como Teorema de Energia de Rayleigh:

$$\int_{-\infty}^{\infty} |x(t)|^2 dt = \frac{1}{2 * \pi} * \int_{-\infty}^{\infty} |X(j * w)|^2 dw$$

Conforme dito anteriormente, o domínio variando entre  $[-1000:1000]$  não resulta em exatamente o valor da energia no tempo, mas é uma boa aproximação, com erro pequeno. O domínio da integral deveria conter todas as frequências do sinal original para que ambas fossem iguais, satisfazendo o teorema acima.

A frequência de amostragem do sinal é muito importante por causa do funcionamento discreto dos computadores (por consequência dos softwares). Caso o valor fosse muito pequeno o sinal ficaria deformado. Com esse sinal de soma de cossenos essa frequência funcionou, mas poderia não funcionar corretamente em outros sinais. Não menos importante, "n" ser uma potência de 2 porque o algoritmo foi desenvolvido para trabalhar dessa forma.

O MATLAB é uma ferramenta muito útil para códigos a fim de trabalhar com as propriedades de sinais e sistemas, inclusive com algumas funções nativas como a fourier, também utilizada no código para calcular a energia no domínio da frequência. Mesmo a FFT sendo um algoritmo eficiente, há uma demora em processar em computadores convencionais. Há outros algoritmos mais eficientes que a FFT como a sFFT (Sparse Fast Fourier Transform) utilizado principalmente em Big Data, todos melhorias advindas do algoritmo original.

Outros softwares como o Maple também possuem ferramentas para análise de sinais, incluindo análise de Fourier, entretanto com menos conteúdo e exemplos disponíveis online para consulta e aprendizagem.

### References

- [1] M. G. Côrtes. *Análise comparativa dos parâmetros espectrográficos da voz antes e depois da fonoterapia*. 2007.
- [2] B. Haykin, Simon; Van Veen. *Sinais e sistemas*. Bookman, 2001.
- [3] M. B. Joaquim. *Processamento Digital de Sinais*. 2010.

- [4] V. K. Madisetti. *The Digital Signal Processing Handbook*. CRC Press, 2010.
- [5] A. OPPENHEIM, Alan; WILLSKY. *Sinais e Sistemas*. Pearson, 2010.
- [6] R. Rabiner, Lawrence; Schafer. *Digital Processing of Speech Signals*. Prentice Hall, 1978.
- [6] [4] [5] [2] [1] [3]